

ساختار میکروسکوپی لیگامان متقاطع قدامی در خرگوش

*فرزانه محمدزاده، **دکتر محمد بیات، **دکتر محمد رخشان

*کارشناس ارشد آناتومی، **مرکز تحقیقات بیولوژی سلولی و مولکولی، دانشگاه علوم پزشکی شهید بهشتی

خلاصه

لیگامان متقاطع قدامی مفصل زانو ساختمان پیچیده‌ای است که ساختمان و بیولوژی آن ارتباط مستقیمی با عملکرد آن به عنوان کنترل کننده حرکات مفصل دارد. با توجه به اینکه قطر فیبریلهای کلاژن آن براساس روند بلوغ، میزان حرکت و افزایش سطح استرس تغیر می‌کند و در جراحی ترمیمی آن نقش دارد، به نظر می‌رسد تعیین قطر و توزیع آنها از اهمیت بسیاری برخوردار باشد. هدف تحقیق حاضر شناخت دقیق ساختمان لیگامان متقاطع قدامی، به وسیله میکروسکوپیهای نوری، الکترونی اسکنینگ و انتقالی در خرگوش است.

سی راس خرگوش نر سالم به وسیله کلروفرم کشته شدند. پس از تشریع مفصل زانو، لیگامانهای متقاطع قدامی از استخوانهای تیبیا و ران جدا شد. سپس این نمونه‌ها به روش‌های میکروسکوپی نوری و الکترونی اسکنینگ و انتقالی مطالعه و مورد بررسیهای کمی و توصیفی قرار گرفتند. مطالعه به روش میکروسکوپی نوری متقاطع عرضی لیگامان نشان داد که کل لیگامان درون یک مجموعه قرار گرفته و میانگین سطح مقطع آن $1/93 \pm 0/08$ میلیمتر مربع است. در نمونه‌های طولی در برخی موارد امتداد دستجات رشته‌های کلاژن به صورت مستقیم و در موارد دیگر به حالت مواج بود. در تصاویر تهیه شده به وسیله میکروسکوپ الکترونی اسکنینگ مشاهده شد که لیگامان از دستجات (fascicles) رشته‌های کلاژن برای بار اول مشاهده شده است که جهت اصلی آنها به موازات محور طولی لیگامان است. نوع دیگر اجتماع دسته‌های کلاژن برای بار اول مشاهده شد که عبارتند از: اجتماعی از رشته‌های کلاژن که شبکه توری مانند سه بعدی را تشکیل داده بودند. در تصاویر مربوط به میکروسکوپ الکترونی انتقالی مشاهده شد که لیگامان اغلب از فیبریلهای با اقطار $1/2$ الی $1/25$ نانومتر تشکیل شده که به وسیله بافت همیند سست از همیگر جدا شده‌اند و میانگین آنها در خرگوش‌های مورد بررسی $7/20 \pm 0/49$ نانومتر بود.

کلمات کلیدی: لیگامان متقاطع قدامی، فیبریل کلاژن، فراساختمان کلاژن، خرگوش

مقدمه

ساختمان (۸)، آناتومی دستجات فیبرها (۱۳)، تغییرات فیبریلهای آن در هنگام پارگی (۱۶)، تغییرات سلولی آن (۱۵)، تغییرات ساختمانی لیگامان متقاطع به دنبال ترمیم و پیوند با لیگامانهای دیگر (۱۸، ۱۴، ۱۲) و موقعیت گیرنده‌های مکانیکی، ارزیابی بیومکانیکی و سازمان دهی سلولی لیگامان (۱۹، ۱۱، ۱) انجام شده است. قطر فیبریلهای کلاژن لیگامان طی روند بلوغ، حرکت، افزایش سطح استرس روی بافت تغییر می‌کند (۱۲). بنابراین به نظر می‌رسد شناخت دقیق قطر و توزیع فیبریلهای کلاژن آن از جنبه هیستولوژی، فیزیولوژی و جراحی‌های ترمیمی آن (۶) از اهمیت بسیاری برخوردار باشد. در همین

لیگامان متقاطع قدامی مفصل زانو ساختمان پیچیده‌ای است که ساختمان و بیولوژی آن ارتباط مستقیمی با عملکرد لیگامان به عنوان کنترل کننده حرکات مفصل زانو دارد. به دلیل همین پیچیدگی ترمیم (duplication) آن بسیار مشکل است (۴). این لیگامان اغلب طی فعالیتهای شدید ورزشی دچار جراحت می‌شود که اتیام آن به کندی روی داده و اغلب کارآئی ورزشکار را با اختلال مواجه می‌کند (۲۰). علیرغم تحقیقات گسترده که در این زمینه انجام شده است لیگامان متقاطع قدامی هیچنان عرصه پژوهش‌های متعدد است. در سالهای اخیر نیز تحقیقات روی این لیگامان از جنبه ابعاد و

روش رنگ آمیزی هاتوکسیلین و ائوزین رنگ شدن. در غونه های عرضی (شش غونه) سطح مقطع برشها به وسیله دستگاه میکروپرورزکتور Ken-A-Vision ساخت آمریکا روی ورقه شفاف منتقل شد و توسط صفحه شترنجی مساحت سطح مقطع محاسبه و بر بزرگنمایی میکروپرورزکتور تقسیم شد. غونه های طولی (چهار غونه) لیگامان به روش توصیفی مطالعه شدند.

مطالعه به روش میکروسکوپ الکترونی اسکنینگ: سری اول: غونه های طولی لیگامان مقاطع قدامی کامل چهار راس از خرگوشها بلا فاصله پس از جداسازی درون محلول گلوتارآلدئید سه درصد در بافر فسفات pH=7/۳ ثبیت و سپس درون اسید اسیک یک درصد ثبیت ثانویه شدند. در ادامه به منظور مطالعه به روش استاندارد غونه ها به مدت یک ساعت درون محلول بافر فسفات قرار داده شدند و طی این مدت محلول بافر پنج تا شش بار عوض شد.

سری دوم: به منظور مطالعه دقیق سطح ساختمان لیگامان و از بین رفتن غلاف و بافت همبند اطراف رشته های کلاژن از دو آنژی هضم کننده هیالورونیداز و الاستاز استفاده شد. آنژیها محصول شرکت Sigma Aldrich آمریکا بود. ۱۵۰۰ واحد پودر آنژیم هیالورونیداز درون ۱۵۰ میلی لیتر بافر سدیم اسیات با pH=5/۴ و مولاریته ۱٪ حل شد. ۱۰ mg الاستاز در ۱۰۰ میلی لیتر بافر سدیم کربنات با pH=8/۸ حل شد. چهار غونه تازه لیگامان که بلا فاصله مولاریته ۵٪ حل شد. ابتدا با محلول کلوروسدیم ۹٪ درصد پس از غونه برداری شدند. درون آنژیها شستشو شده بودند، به مدت ۶ الی ۱۸ ساعت درون آنژیها هیالورونیداز و الاستاز در درجه حرارت ۳۷°C قرار گرفتند. غونه ها سپس درون محلول گلوتارآلدئید سه درصد در بافر فسفات ثبیت و پس از آن با اسید اسیک یک درصد ثبیت ثانویه شدند. در ادامه غونه ها درون محلول استن با غلظت های ۷۰، ۸۰، ۹۰ و ۱۰۰ درجه قرار گرفته و آبگیری شدند. سپس غونه ها درون ظرف حاوی (FLUKA Isopentan) قرار گرفته و به آرامی درون تانک حاوی ازت مایع فرو برده شدند.

زمینه نتایج مطالعات انجام شده با یکدیگر متفاوت است. تحقیقات قطر فیبریلها را بین ۱۵۰ الی ۲۵۰ نانومتر (۳) و قطر متوسط فیبریلها لیگامان را که بین ۲۰ الی ۱۸۵ نانومتر بودند، ۷۵ نانومتر (۶) گزارش کرده اند. فیبریلها را از نظر قطر به دو تیپ کوچک و بزرگ تقسیم نموده اند. فیبریلها کوچک با حداقل قطر (peak) ۴۵ نانومتر و فیبریلها بزرگ که در سه دسته با قطرهای ۳۵، ۵۰ و ۷۵ نانومتر قرار گرفته اند (۲۰). متوسط قطر فیبریلها لیگامان مقاطع خرگوش را در ۳۳ الی ۴۰ ماهگی، 0.005×0.069 میلیمتر و در سن ۲ ماهگی 0.006×0.077 میلی متر گزارش کرده اند (۹).

از طرف دیگر، تاکنور تحقیقی روی لیگامان مقاطع قدامی به وسیله کاربرد همزمان روشهای میکروسکوپی نوری، الکترونی اسکنینگ و انتقالی انجام نشده است. بنابراین با توجه به اینکه خرگوش یک مدل رایج تحقیقاتی لیگامنهای اطراف زانو است (۱۰)، هدف از این تحقیق شناخت دقیق ساختمان لیگامان مقاطع قدامی با به کار بردن روشهای فوق در خرگوش است.

مواد و روش کار

۳۰ راس خرگوش نر سالم نژاد DUTCH، ۵ الی ۶ ماهه که از انسستیتو پاستور ایران تهیه شده بودند، به روش استنشاق کلروفرم در فضای بسته کشته شدند. پس از تشریع مفصل زانوی راست آنها، اتصالات لیگامان مقاطع قدامی به آرامی از استخوانهای تیبیا و ران جدا شد و به وسیله روشهای میکروسکوپ نت، الکترونی اسکنینگ و انتقالی مطالعه شدند.

مطالعه به روش میکروسکوپ نوری: غونه های لیگامنهای مقاطع قدامی کامل ده راس از خرگوشها بلا فاصله پس از جداسازی از بدن آنها، در فرمالین سالین غوطه ور شده و پردازش بافتی گردید. به صورت عمودی و طولی درون قالب های پارافینی قالب گیری شده و به وسیله میکروتوم با تیغه ثابت برشهایی با ضخامت پنج میکرون زده شد. برشها با

عکسبرداری و به صورت توصیفی و کمی مطالعه شدند. به منظور انجام مطالعه کمی قطر بر اساس روش Hart et al (۹) و Moeller et al (۱۲)، در ۱۰۰۰-۲۹۰۰ فیبریل کلاژن، ابتدا بزرگنمایی عکس چاپ شده تسبیب به فیلم عکاسی محاسبه شد و این بزرگنمایی در بزرگنمایی میکروسکوپ الکترونی ضرب و بزرگنمایی نهایی به دست آمد. سپس کمترین هر قطر فیبریل کلاژن به وسیله خطکش مدرج میلیمتری اندازه گیری و میانگین و اخراج معیار و حداقل و حداکثر قطر هر فیبریل و دامنه قطر آنها با کمک برنامه نرمافزاری SPSS در فیبریلهای هر غونه و کل ۶ غونه محاسبه شد و کل قطرهای مورد بررسی به زیر گروههای تقسیم و فراوانی قطرهای مورد بررسی و درصد قطر مورد نظر از کل قطرهای مورد بررسی و درصد تجمعی آنها محاسبه شد.

نتایج

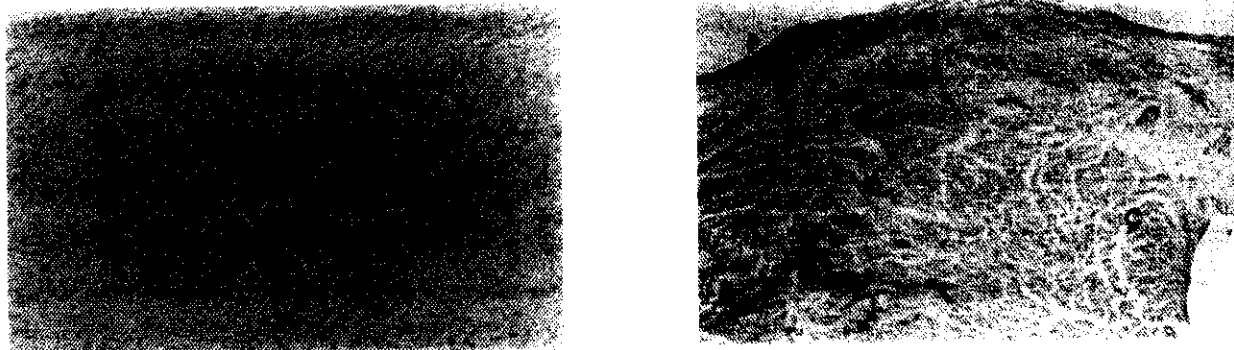
نتایج مطالعه به روش میکروسکوپ نوری در دو بخش مطالعه توصیفی و کمی تنظیم و در بخش مطالعه توصیفی غونه‌ها به دو صورت برشهای عرضی و طولی بررسی شدند. در تمام برشهای عرضی، شکل لیگامان تقریباً بیضوی بوده و از دو ناحیه کاملاً متفاوت تشکیل شده است. یک قسمت بافت همیند است احاطه کننده رشته‌های کلاژن و قسمت دیگر دستجات رشته‌های کلاژن تشکیل دهنده لیگامان است (شکل ۱). بافت همیند احاطه کننده کل لیگامان (پریتون) که کل رشته‌های تشکیل دهنده لیگامان را درون یک جمجمه در بر گرفته بود، قابل مشاهده است (شکل ۱).

در برخی از برشهای طولی دسته‌های کلاژن امتداد مستقیم داشته و در برشهای دیگر به صورت مواج هستند. در محل اتصال لیگامان به استخوان نمای ظاهری بافت تغییر و نمای غضروف فیبرو را پیدا می‌کند. تعداد سلوها بیشتر و دسته‌های کلاژن پراکنده می‌شوند. سلوها به شکل بیضوی بوده و توسط فضاهای مشابه با لاکونای غضروف احاطه می‌شوند. سلوها به صورت ردیف و پشت سر هم قرار می‌گیرند (شکل ۲). اندازه گیری سطح مقطع لیگامانها در شش غونه خرگوش نشان

و بلاfaciale به دستگاه فریز درایر (Edward) منتقل شدند و به مدت حدود ۶ ساعت در درجه حرارت ۴۰°C - و در شرایط خلاء تحت مکش بودند و به این ترتیب غونه‌ها به طور کامل خشک شدند. بعد از انجام مراحل فوق غونه‌ها زیر استریومیکروسکوپ و توسط ترکیب چسب اتلان و پودر نیترات نقره به پایه‌های (stub) آلومینیومی میکروسکوپ چسبانده شدند. سپس سطح غونه‌ها به وسیله ورقه نازکی از طلا به ضخامت حدود ۳۰ نانومتر توسط دستگاه sputter coater SCD-005 مارک ZIESS DSM940A پوشانده شد. غونه‌ها با به وسیله میکروسکوپ الکترونی اسکنینگ ۱۵ KV، ۱۵ KV، ZIESS DSM940A مشاهده شدند. غونه‌ها با بزرگنمایی ۱۰۰ الی ۵۰۰۰ برابر با میکروسکوپ بررسی و از نواحی مورد نظر با استفاده از فیلم سیاه و سفید KODAK ۱۳۵ عکسبرداری شد.

مطالعه به روش میکروسکوپ الکترونی انتقالی: به منظور بررسی ضخامت مقاطع فیبریلهای کلاژن لیگامان از شش غونه تازه لیگامان که با محلول کلرورسیم شسته شده بودند، نوارهای طولی با ضخامت حدود یک میلی‌متر تهیه و درون محلول گلوتارآلدید سه درصد در بافر فسفات ($\text{pH}=7/3$) تثبیت شد. سپس درون اسیداسیک یک درصد تثبیت ثانویه شدند. غونه‌ها درون الكل با غلظتها افزایشده قرار گرفته و آبگیری و سپس رزین دهی شدند. قالبها توسط دستگاه اولترامیکروتوم LEICA ULTRCUT R برش زده شدند. ابتدا برشهای نیمه نازک (semithin) تهیه و رنگ آمیزی در محلول آبی تولوئیدین بلو یک درصد انجام شد و از موقعیت صحیح غونه اطمینان حاصل گردید. سپس برشهای خیلی نازک (Ultrathin) به ضخامت ۶۰-۹۰ نانومتر تهیه و روی گردیدهای (Grids) مسی قرار داده شدند و رنگ آمیزی در گانه توسط محلول اشیاع استات اورانیوم و محلول سیترات سرب انجام شد. غونه‌ها توسط میکروسکوپ الکترونی انتقالی ZIESS EM900 با بزرگنمایی ۴۴۰۰ الی ۱۲۰۰۰ برابر مشاهده و از نواحی مورد نظر با استفاده از فیلم کدak ۱۲۰

ساختار میکروسکوپی لیگامان متقطع قدامی

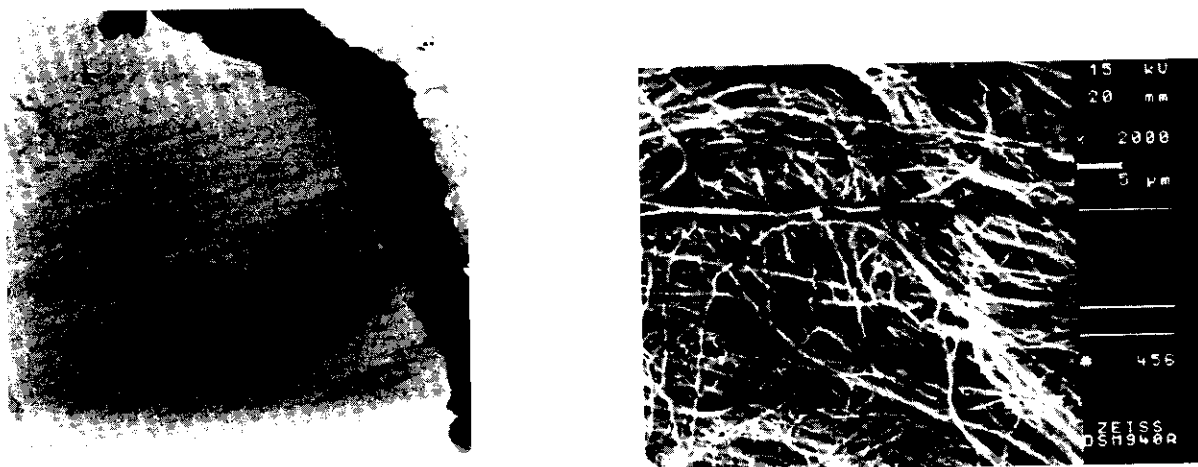


شکل ۱: مقطع عرضی لیگامان متقطع قدامی. A = قسمت بافت همبند غضروفی (*) توجه نمائید (رنگ آمیزی H&E، بزرگنمایی ۱۰۰ برابر).

C = قسمت مقطع عرضی رشته‌های کلاژن، P = پری‌تنون (رنگ آمیزی H&E، بزرگنمایی ۳۲ برابر).



شکل ۲: سطح لیگامان با میکروسکوپ الکترونی اسکینیگ که با روش استاندارد آماده شده است. به رشته‌های کلاژن (F) در قطرهای متفاوت و چگونگی بافته شدن آنها به یکدیگر و فضای بین آنها (۱) توجه نمائید (بزرگنمایی میکروسکوپ ۲۰۰۰ برابر).



شکل ۳: میکروگراف الکترونی از مقطع عرضی لیگامان متقطع قدامی که فیریلها (F) و دسته‌های کلاژن (F) را نشان می‌دهد به بافت همبند سمت بین دسته‌های کلاژن (۱) توجه نمائید (بزرگنمایی میکروسکوپ ۲۰۰۰ برابر می‌باشد).

شکل ۴: سطح لیگامان با میکروسکوپ الکترونی اسکینیگ پس از آماده سازی آزمیزی لیگامان. به آرایش توری ساند و سه بعدی و جهت متفاوت بعضی از دسته‌ها توجه نمائید (بزرگنمایی میکروسکوپ ۲۰۰۰ برابر).

بحث

مطالعه برشهای عرضی به وسیله میکروسکوپ نوری، غایانگر یک قسمتی بودن لیگامان بود، در حال که به دنبال بررسی ماکروسکوپی لیگامان در غونه‌های ثبیت شده سگ و خرگوش و انسان نشان می‌دهد که لیگامان متقاطع قدامی از دو باند تشکیل شده است (۲). همچنین مشاهدات ماکروسکوپی نشان دهنده تقسیم بندی لیگامان متقاطع قدامی به دو قسمت داخلی و خارجی است (۲۱)، اما با توجه به اینکه در مشاهده مقاطع عرضی تحقیق حاضر به روش میکروسکوپی نوری، وجود پافت هبند احاطه کننده کل لیگامان (پری‌تنون) کاملاً محرز و آشکار بود، به نظر می‌رسد باندها و قسمت داخلی و خارجی ذکر شده توسط سایر محققین بصورت لایه‌های کاملاً منظم بوده و در همه مقاطع قابل مشاهده نمی‌باشد.

برشهای طولی مربوط به بلوکهای پارافینی تحقیق Strocchi et al غایانگر دستجات موجی شکل ساخته شده از رشته‌های کلازن بود (۲۰). این مشاهدات با نتایج مربوط به تحقیق حاضر همخوانی دارد اما در برشهای طولی تحقیق حاضر دسته‌های کلازن با امتدادهای مستقیم هم مشاهده شد که هر چند مغایر نتایج Strocchi et al است اما با نتایج Yahia & Drovin که دسته‌های کلازن با امتداد مستقیم را در نواحی عمیق‌تر لیگامان مشاهده کردند، همخوانی دارد (۲۲). در برشهای میکروسکوپی نوری لیگامان که در نزدیکی استخوان قرار دارند، سلولهای شبیه به غضروف مشاهده شد. هر چند به این پافته در تحقیق Strocchi et al که عنوان مطالعه پافت‌شناسی و فراساختار لیگامان متقاطع قدامی را داشت، اشاره نشد اما در تحقیق Clark & Sidles به وجود این نوع سلولها در نزدیکی محل اتصال لیگامان به استخوان اشاره شده است. مشاهده این سلولها تایید کننده وجود استرس در این ناحیه است (۲). در تصاویر میکروسکوپ الکترونی اسکنینگ که از سطح غونه‌های تیمار شده با آنژیم تهیه شده بود، دستجات کلازنی به صورت شبکه سه بعدی مشاهده شد که تاکنون به آنها اشاره نشده است و به نظر می‌رسد که

داد که میانگین سطح مقطع لیگامان متقاطع قدامی $13/08 \pm 1/93$ میلیمتر مربع می‌باشد.

نتایج بررسی لیگامان به روش استاندارد توسط میکروسکوپ الکترونی اسکنینگ نشان می‌دهد که لیگامان متقاطع قدامی از دستجات مشتمل از رشته‌های کلازن موج و در هم باقته تشکیل می‌شود که جهت اصلی آنها به موازات محور طویل لیگامان است و آرایش، جهت و قطر آنها با یکدیگر متفاوت است (شکل ۳). همچنین فضای خالی بین دسته‌های کلازن قابل مشاهده می‌باشد.

پس از تیمار لیگامان با آنژیهای هیالورونیداز و الاستاز می‌توان مشاهده فود که لیگامان متقاطع قدامی آرایش پیچیده‌تری نسبت به آنچه تاکنون مشاهده شد، دارد. در شکل ۴ پس از اعمال اثر آنژیها و از بین رفت ماده زمینه‌ای دستجات فرعی که روی دستجات اصلی تکیه کرده‌اند، مشاهده می‌شوند که مطالعه دقیقت آنها نشان می‌دهد دارای مسیر، جهت و آرایشهای متفاوت هستند. همچنین دسته‌های کلازن به طوری که در شکل مشاهده می‌شود که جمیع شبکه توری مانند سه بعدی را تشکیل داده‌اند. مطالعه توصیفی تصاویر میکروسکوپ الکترونی انتقالی لیگامان نشان داد که دو قسمت ساختمان متفاوت در ساختمان لیگامان وجود دارد:

(۱) پافت هبند سست پوشاننده لیگامان که استطلاوهای آن سبب جداسازی و تقسیم بندی ریزتر لیگامان می‌شود.

(۲) فیریلهای کلازن که دارای مقاطع گرد تا بیضی هستند فضای بین فیریلهای به صورت ماده بی‌شکل و یکنواخت مشهود است (شکل ۵). نتایج حاصل از اندازه‌گیری مقاطع عرضی فیریلهای کلازن به این شرح می‌باشد که:

تعداد مقاطع مورد بررسی در هر کدام از خرگوشها بین ۱۰۰۶ تا ۲۹۰۵ عدد و میانگین قطر آنها $40 \pm 59/8$ نانومتر بود. تعداد کل مقاطع مورد بررسی 10223 عدد و میانگین کل قطر آنها $7/20 \times 20/49$ نانومتر بود. حداقل قطر فیریلهای $12/2$ نانومتر و حداکثر قطر آنها $125/7$ نانومتر بود که تقریباً به طور مساوی در این محدوده پخش شده‌اند.

می‌رسد که فرض غاییم که گروههای مختلف فیبریلهای عملکردهای متغیر دارند. فیبریلهای با قطر زیاد برای مقاومت در مقابل قدرت کشش مناسب هستند و فیبریلهای با قطر کم ساختمان سه بعدی لیگامان را حفظ می‌کنند. در نتایج تحقیق حاضر فیبریلهای با قطرهای مختلف مشاهده شد که هر دو نوع عملکرد را برای لیگامان امکان‌پذیر می‌سازد.

لیگامان متقطع قدامی خرگوش دارای الگوهای آرایش رشته‌های کلاژن در هم بافت طولی و شبکه سه بعدی رشته‌های کلاژن است. علیرغم اینکه فیبریلهای کلاژن از نظر قطر، دامنه وسیعی دارند ولی تقریباً به طور مساوی در یک محدوده پخش شده‌اند.

تقدیر و تشکر

مقاله حاضر نتیجه طرح تحقیقاتی شاره ۱۶۱۱ حوزه معاونت پژوهشی دانشگاه علوم پزشکی شهید بهشتی است. تویستندگان مقاله مراتب تقدیر و تشکر خود را از آن معاونت و همکار محترم جناب آقای دکتر کاظمی و پخش میکروسکوپ الکترونی بیمارستان بقیه الله تهران و مرکز تحقیقات بیولوژی سلولی و مولکولی دانشگاه متبع و دکتر فروزنده مقدم و خانم زرندی از دانشگاه تربیت مدرس اعلام می‌دارند.

References

1. Arcand M. A., Rhlami S., Rivard C. H., 2000, Quantification of mechanoreceptors in the canine anterior cruciate ligament, *Int. Orthop.*, 24(5): 272-5.
2. Clark J. M., Sidles J. A., 1990, The interrelation of fiber bundles in the anterior cruciate ligament, *Orthop. Res.*, 8 : 180-188.
3. Danylchuk K. D., Finlay J. B., Kreck J. P., 1978, Microstructural organization of human and bovine cruciate ligament's , *Clin. Orthop. Relat. Res.*, 131:294-298.
4. Dodds J. A., Arnoczky S. P., 1994, Anatomy of the anterior cruciate ligament: a blue print for repair and reconstruction, *Arthroscopy*, 10(2): 132-139.
5. Flint M. H., Craig A. S., Reilly H. C., Gillard G. C., Parry D. A. D., 1984, Collagen fibre diameters and glycosaminoglycan content of skin indices of tissue maturity and function, *Connect. tissue Res.*, 13,69-81.
6. Frank C. Woo S. L.Y., Andriacchi T., Brand R., Oakes B., Dahmers L., De Heven K., Lewis J., Sabiston P., Normal ligament: structure of function and composition, in: Woo S.L. Y.,

الگوی سه بعدی لیگامان متقطع قدامی را پیچیده‌تر از آنجه که تاکنون تصور می‌شد، ساخته‌اند.

Strocchi et al اختلاف بین ضخامت قطر فیبریلهای را در تحقیق خود (۲۰) با تحقیق Danylchuk et al (۳) مذکور شدند اما دلیلی برای آن قائل نشدمند. در تحقیق حاضر قطر فیبریلهای کلاژن بین $۱۲۵/۷$ تا $۱۳/۲$ نانومتر بود که تقریباً به طور مساوی بین این دو حد پخش شده‌اند و این از نظر توزیع فیبریلهای با نتایج تحقیق Hart et al (۹) همخوانی دارد. قطر فیبریلهای در تحقیق حاضر تقریباً با نتایج تحقیق Strocchi et al (۲۰) هم مشابه است اما با نتایج Danylchuck et al (۳) متفاوت است. دلیل احتمالی این تفاوت ممکن است روش مطالعه و اجرای تحقیق باشد. در تحقیق حاضر موارد زیر جهت افزایش دقت محاسبه قطر فیبریلهای کلاژن صورت گرفت:

(الف) استفاده از روش میکروسکوپی الکترونی انتقال برای محاسبه قطر فیبریلهای (۹ و ۱۲ و ۲۰).

(ب) به علت مارپیچی بودن مسیر رشته‌های کلاژن، حداقل قطر فیبریلهای مبنای محاسبه قرار گرفت تا به دلیل جهت مایل فیبریلهای قطر آنها اشتباه محاسبه نگردد (۱۲).

(ج) در هر نمونه شارش در بین ۱۰۰۰ الی ۲۹۰۰ فیبریل انجام شد تا از نظر آماری، کار دقیق‌تری صورت گیرد (۹).

توزیع قطرهای فیبریلهای کلاژن و میانگین قطرهای فیبریلهای بافت همبندی وابسته به عوامل متعددی است. جمعیت فیبریلهای کلاژن در طی دوران بلوغ، بی حرکتی و با افزایش درجه استرس روی بافت تغییر می‌کند. برخی از محققان پیشنهاد کرده‌اند میانگین قطر فیبریلهای کلاژن در بافت همبند در ارتباط با مقاومت در برابر حداقل استرس‌های مکانیکی است که اعمال می‌شود (۱۲).

از طرف قطر فیبریلهای بیانگر عملکرد ویژه فیبریل است (۱۶). با افزایش سن و افزایش پیوندهای عرضی قطر فیبریلهای هم افزایش می‌یابد و این به توجه خود موجب افزایش قدرت کشش بافت می‌شود (۱۷) با توجه به موارد فوق منطقی به نظر

- human anterior cruciate ligament of rupture, *J. Bone Joint Surg. Am.*, 82 A (10): 1387-1397.
15. Neurath M. F., Printz H., Stofft E., 1994, Cellular ultrastructure of the ruptured anterior cruciate ligament, *Acta Orthop. Scand.*, 65(1): 71-76.
 16. Neurath M. F., Stofft E., 1992, Collagen ultrastructure in ruptured cruciate ligaments, *Acta Orthop. Scand.*, 63 :507-510.
 17. Nimni M. E., 1983, Collagen structure, function and metabolism in normal and fibrotic, *Semin in Arthritis and Rheum.*, 13 (1):1-86.
 18. Ohno K., Pamaybo A., Schmidt C. C., Levine R. E., Ohland K. J., Woo S. L. Y., 1995, Healing of the medial collateral ligament after a combined medial collateral and anterior cruciate ligament injury and reconstruction of the anterior cruciate ligament: comparison of repair and nonrepair of medial collateral ligament in rabbits, *J. Orthop. Res.*, 13:442-449.
 19. Pangabi M. M., Courtney T. W., 2001, High-speed subfailure stretch of rabbit anterior cruciate ligament: changes in elastic, failure and viscoelastic characteristic, *Clin. Biomech.*, 16(4): 334-40.
 20. Strocchi R., Depasquale V., Gubellini P., Faccini A., Marcacci M., Buda R., Zaffagninis, Rugger A. 1992, The human anterior cruciate ligament : histological and ultrastructural observation, *J. Anat.*, 80: 515-519.
 21. Woo S. L. Y., Newton P. O., Mackerina D. A., Lyon R. M., 1992, A comparative evaluation of the mechanical properties of the rabbit medial collateral and anterior cruciate ligaments, *J. Biomech.*, 25: 377-386.
 22. Yahia L. H., Droviv G., 1989, Microscopical investigation of canine anterior cruciate ligament and patellar tendon collagen fascicle morphology and architecture, *J. Orthop. Res.*, 7:243-251.
 - Buckwalter J. (eds), Injury and repair of musculoskeletal soft tissues, American Academy of Orthopaedic Surgeons, Park Ridge,1988, 45-101.
 7. Fuss F., 1991, Anatomy and function of the cruciate ligaments of the domestic pig (*sus scrofa domestica*) a comparision with human cruciates, *J. Anat.*, 178:11-20.
 8. Harner C. D., Livesay G. A., Kashiwaguchi S., Fujie H., Choi N. Y., Woo S. L., 1995, Comparative study of the size and shape of human anterior and posterior cruciate ligament, *Orthop. Res.*, 13:429-434
 9. Hart R. A., Akeson W. H., Spratt K., Amiel D., 1999, Collagen fibril diameter distributions in rabbit anterior cruciate and medial collateral ligaments: changes with maturation, *Iawa Orthop. J.*, 19:66-70.
 10. King G. J. W., Edwards P., Brant R. F., 1999, Intraoperative graft tensioing alerts viscoelastic but not failure behavior of rabbit collateral ligament out graft, *J. Orthop. Res.*, 13:915-922.
 11. Lo I. K., Ou Y., Rattner J. P., Hart D. A., Marchuk L. L., Frank C. D., Rattner J. B., 2002, The cellular networks of normal ovine medial collateral and anterior cruciate ligaments are not accurately recapitulated in scar tissue, *J. Anat.*, 200(pt3):282-96.
 12. Moeller H. D., Bosch U., Decker B., 1995, Collagen fibril diameter distribution in patellar tendon autograft after posterior cruciate ligament reconstruction in sheep: change over time, *J. Anat.*, 187: 161-167.
 13. Mommersteeg T. J. A., Kooloos J. G., Blankvoort L., Huiske R., Roling F. Q. C., 1995, The fibre bundle anatomy of human cruciate ligaments, *J. Anat.*, 187:461-471.
 14. Murray M. M., Martin S. D., Martin T. L., Spector M., 2000, Histological changes in the